

Динамика роликонесущего экипажа с учетом инерции роликов и трения

К.В. Герасимов

Научные руководители:

д.ф.-м.н. И.И. Косенко

к.ф.-м.н. А.А. Зобова

Кафедра теоретической механики и мехатроники

Механико-математический факультет

МГУ им. М.В. Ломоносова

Октябрь 2018

Омни-колеса и экипажи



Обзор

- ▶ Формальский, Мартыненко
- ▶ Татаринов, Зобова
- ▶ Борисов, Килин, Мамаев
- ▶ Иностранцы
- ▶ Возможно, модели со всеми роликами (например, на Modelica) – но имеющие упрощения

Безынерционная модель

Количество твердых тел $1 + N$

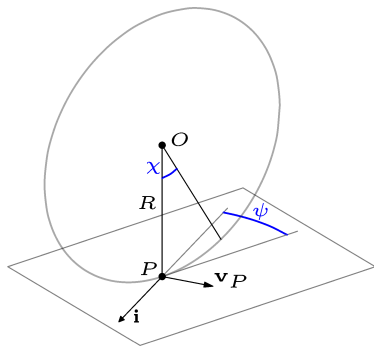


Рис.: Безынерционная модель
колеса

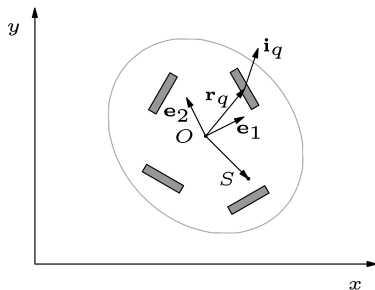


Рис.: Безынерционная модель
экипажа

Постановка задачи

- Экипаж состоит из платформы, N колес и n роликов, количество твердых тел:

$$1 + N(n + 1)$$

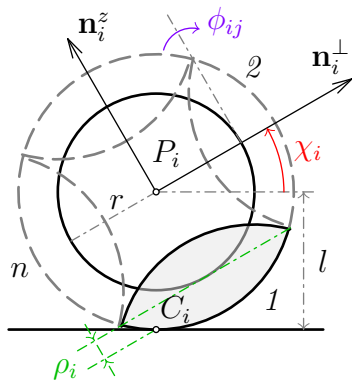


Рис.: Колесо

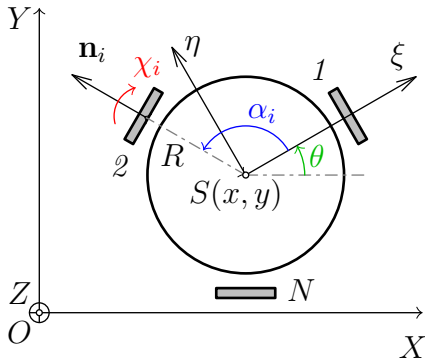


Рис.: Экипаж

Постановка задачи

Координаты, псевдоскорости, связи

- Обобщенные координаты:

$q = (x, y, \theta, \chi_i, \phi_k, \phi_s)$, где $i, k = 1 \dots N$, s – ролики вне контакта.

- Псевдоскорости:

$\nu = (\nu_1, \nu_2, \nu_3, \nu_s)$, $\mathbf{v}_S = R\nu_1\mathbf{e}_\xi + R\nu_2\mathbf{e}_\eta$, $\nu_3 = \Lambda\dot{\theta}$, $\nu_s = \dot{\phi}_s$

- Связи:

$$\dot{x} = R\nu_1 \cos \theta - R\nu_2 \sin \theta, \quad \dot{y} = R\nu_1 \sin \theta + R\nu_2 \cos \theta,$$

$$\dot{\theta} = \frac{\nu_3}{\Lambda}, \quad \dot{\chi}_i = \frac{R}{l}(\nu_1 \sin \alpha_i - \nu_2 \cos \alpha_i - \frac{\nu_3}{\Lambda}),$$

$$\dot{\phi}_k = \frac{R}{l \cos \chi_k - r}(\nu_1 \cos \alpha_k + \nu_2 \sin \alpha_k), \quad \dot{\phi}_s = \nu_s$$

Уравнения Я.В. Татаринова



$$\frac{d}{dt} \frac{\partial L^*}{\partial \nu_\alpha} + \{P_\alpha, L^*\} = \{P_\alpha, \nu_\mu P_\mu\}, \quad (0.1)$$

$$\nu_\mu P_\mu = \dot{q}_i p_i, \quad p_i = \frac{\partial L}{\partial \dot{q}_i}$$

- ▶ Лагранжиан и “импульсы” отличаются аддитивными членами:

$$L^* = \dot{L}^* + BL_\Delta^*(\nu, \chi)$$

$$P_\alpha = \dot{P}_\alpha(\theta, p_x, p_y, p_\chi) + P_\Delta(p_{\phi_i}, \chi)$$

Структура уравнений

Новые слагаемые (\mathcal{P}_α и \mathcal{M}_i^* зависят от χ)

$$\begin{aligned} \mathcal{M}^* \dot{\boldsymbol{\nu}} = & \frac{MR^2}{\Lambda} \begin{pmatrix} \nu_2 \nu_3 \\ -\nu_1 \nu_3 \\ 0 \\ 0 \\ \vdots \\ 0 \end{pmatrix} + \frac{R}{2I} \boldsymbol{\nu}^T \begin{pmatrix} -\sin \alpha_i \mathcal{M}_i^* \\ \cos \alpha_i \mathcal{M}_i^* \\ \Lambda^{-1} \mathcal{M}_i^* \\ 0 \\ \vdots \\ 0 \end{pmatrix} \boldsymbol{\nu} \\ & - BR^2 \boldsymbol{\nu}^T \begin{pmatrix} \mathcal{P}_1 \\ \mathcal{P}_2 \\ \mathcal{P}_3 \\ 0 \\ \vdots \\ 0 \end{pmatrix} \boldsymbol{\nu} - B \begin{pmatrix} * \\ * \\ * \\ \cos \chi_{12} \frac{\nu_3}{\Lambda} \dot{\chi}_1^* \\ \vdots \\ \cos \chi_{Nn} \frac{\nu_3}{\Lambda} \dot{\chi}_N^* \end{pmatrix} \end{aligned}$$

Структура уравнений

Свойства

1. Интеграл энергии $\frac{1}{2}\boldsymbol{\nu}^T \mathcal{M}^*(\chi_i)\boldsymbol{\nu} = h = \text{const}$
(связи автономны, идеальны, силы консервативны)
2. $\nu_1 = \nu_2 = \nu_3 = 0 \implies \nu_s = \text{const}$
3. $B = 0 \implies$ уравнения как в безынерционной модели.
4. Интеграл $m_{33}^*\nu_3 = \text{const}$ разрушается при $B \neq 0$. $\dot{\nu}_3 \sim B$.
5. Первые интегралы:

$$\nu_s + \frac{1}{\Lambda} \sin \chi_{ij} \nu_3 = \text{const.}$$

Вращение $\nu_1(0) = 0, \nu_2(0) = 0, \nu_3(0) \neq 0$ неравномерно.

6. Замена псевдоскоростей $\boldsymbol{\nu} \rightarrow \lambda \boldsymbol{\nu}, \lambda \neq 0$ эквивалентна замене времени $t \rightarrow \lambda t$.

Смена ролика

(1) Уравнения вырождаются на стыках роликов:

разрыв 2ого рода в правой части из-за выражений $(l \cos \chi_i - r)$ в знаменателе.

Пусть переход на следующий ролик будет раньше стыка.

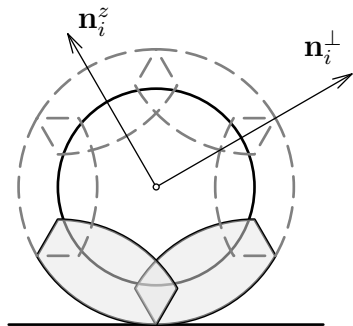


Рис.: Ролики перекрываются

Смена ролика

(2) Ролики входят и выходят из состояния контакта при $t = t^*$.

Происходит мгновенное снятие связи с одного ролика и наложение связи на другой.

Пусть:

- ▶ $\Delta t \ll 1$, $\Delta \mathbf{q} \sim \dot{\mathbf{q}} \Delta t \ll 1$, $\Delta \dot{\mathbf{q}} < \infty$,
- ▶ в точках контакта: $\mathbf{R} = \mathbf{N} + \mathbf{F}$,
- ▶ к моменту окончания удара $t^* + \Delta t$ уравнения связей выполнены ($\dot{\mathbf{q}}^+ = \mathbf{V}(\mathbf{q})\boldsymbol{\nu}^+$)
- ▶ верно основное уравнение удара $\mathbf{M}(\dot{\mathbf{q}}^+ - \dot{\mathbf{q}}^-) = \mathbf{Q}$
- ▶ связи идеальны $\mathbf{Q}^T \delta \mathbf{q}^+ = 0$

Независимое нахождение обобщенных скоростей

$$\dot{\mathbf{q}}^+ = \dot{\mathbf{q}}^- - \Delta\dot{\mathbf{q}} = \mathbf{V}\boldsymbol{\nu}^+ \in \tilde{\mathcal{V}}$$

$$\begin{aligned} 0 &= (\Delta\dot{\mathbf{q}}, \mathbf{M}\mathbf{V}) \\ &= (\mathbf{V}\boldsymbol{\nu}^+ - \dot{\mathbf{q}}^-, \mathbf{M}\mathbf{V}) \\ &= (\mathbf{M}\mathbf{V}\boldsymbol{\nu}^+ - \mathbf{M}\dot{\mathbf{q}}^-, \mathbf{V}) \\ &= \mathbf{V}^T \mathbf{M}\mathbf{V}\boldsymbol{\nu}^+ - \mathbf{V}^T \mathbf{M}\dot{\mathbf{q}}^- \end{aligned}$$

$$\boldsymbol{\nu}^+ = \left(\mathbf{V}^T \mathbf{M}\mathbf{V} \right)^{-1} \mathbf{V}^T \mathbf{M}\dot{\mathbf{q}}^-$$

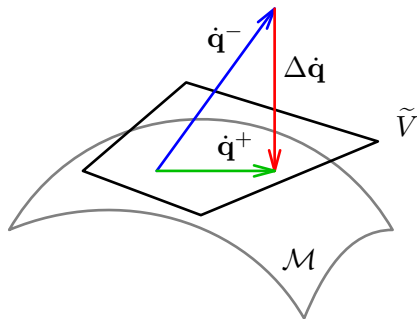


Рис.: $\dot{\mathbf{q}}^+$ – проекция $\dot{\mathbf{q}}^-$ на $\tilde{\mathcal{V}}$,
ортогональная в метрике \mathbf{M}

Значения параметров

и здесь же ПОКАЗАТЬ ВАРИАНТЫ НАЧАЛЬНЫХ УСЛОВИЙ – РИСУНКИ

- ▶ радиус колеса $r = 0.05$,
- ▶ масса колеса $M_k = 0.15$,
- ▶ масса ролика $m_{рол} = 0.05$,
- ▶ радиус платформы $R = 0.15$,
- ▶ масса платформы $M_{пл} = 1$.

Вращение вокруг своей оси ($\nu_{1,2}(0) = 0, \nu_3 = 1$).

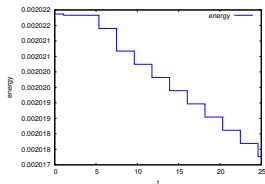


Рис.: Кинетическая энергия

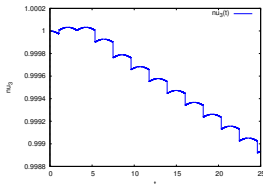


Рис.: Угловая скорость экипажа

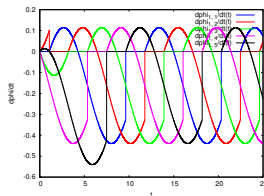


Рис.: Угловые скорости роликов

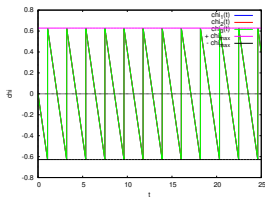


Рис.: Углы поворота колес

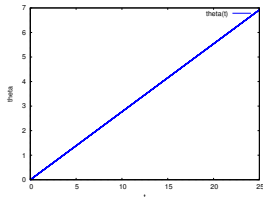


Рис.: Угол поворота экипажа

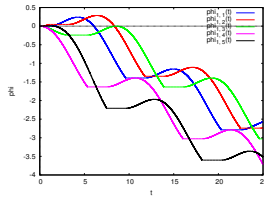


Рис.: Углы поворота роликов

Движение по прямой ($\nu_1(0) = 1, \nu_{2,3} = 0$).

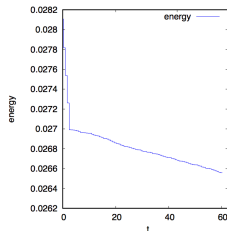


Рис.:
Кинетическая
энергия

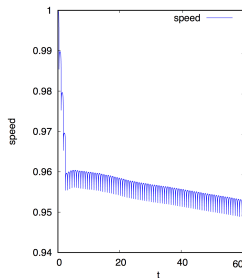


Рис.: Скорость центра
масс

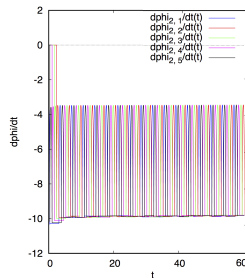


Рис.: $\dot{\phi}$ на заднем колесе

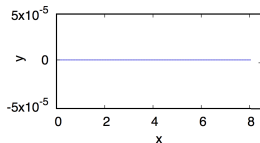


Рис.: Траектория

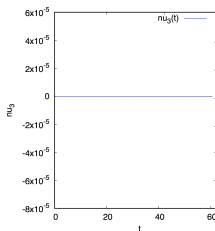


Рис.: Угловая

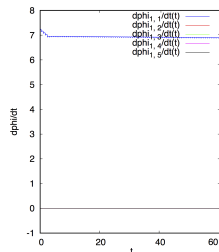


Рис.: $\dot{\phi}$ на переднем

Движение с закруткой ($\nu_1(0) = 1, \nu_2(0) = 0, \nu_3(0) = 1$).

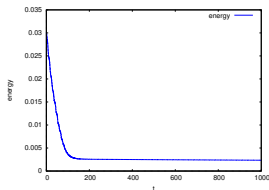


Рис.: Кинетическая энергия

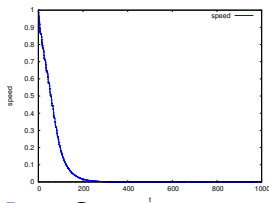


Рис.: Скорость центра масс

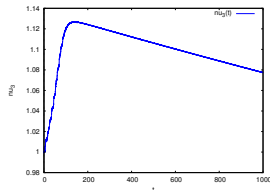


Рис.: Угловая скорость экипажа

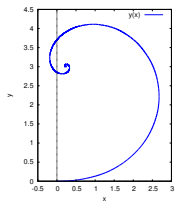


Рис.: Траектория

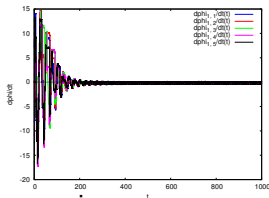


Рис.: ϕ на первом колесе

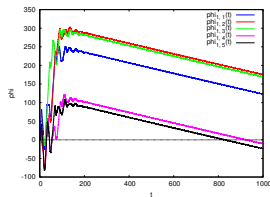


Рис.: углы ϕ на первом колесе

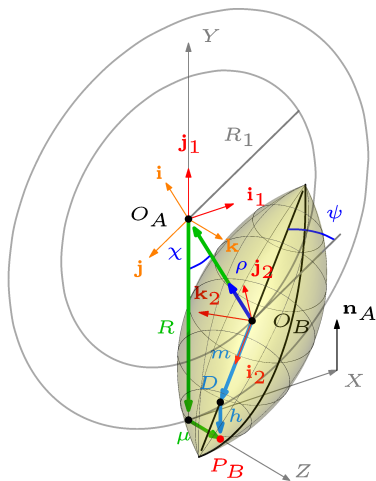
Модели контакта

- ▶ Трение
 - ▶ Вязкое
 - ▶ Регуляризованное сухое
- ▶
 - ▶ Модульная структура
 - ▶ Нужен формализм

Подход

- ▶ Избыточные координаты (не лагранжевы)
 - ▶ для каждого твердого тела 6 ОДУ Ньютона для ц.м. и 7 ОДУ Эйлера (4 кин.ур. для кватерниона и 3 дин.ур. для ω)
 - ▶ всего 208 ОДУ плюс дополнительные дифференциальные уравнения, задаваемые связями
- ▶ Система уравнений
 - ▶ Уравнения Ньютона-Эйлера для каждого тела
 - ▶ Уравнения связей
 - ▶ Модель контактных сил
- ▶ Формализм языка Modelica

Отслеживание контакта



$$\mathbf{r}_{P_B} = \mathbf{r}_{O_B} + R_1 \boldsymbol{\rho} - R \mathbf{j}_1 + \mu \mathbf{k}_1,$$

$$\mathbf{r}_{P_B} = \mathbf{r}_{O_B} + \overrightarrow{O_B D} + \overrightarrow{DP_B}$$

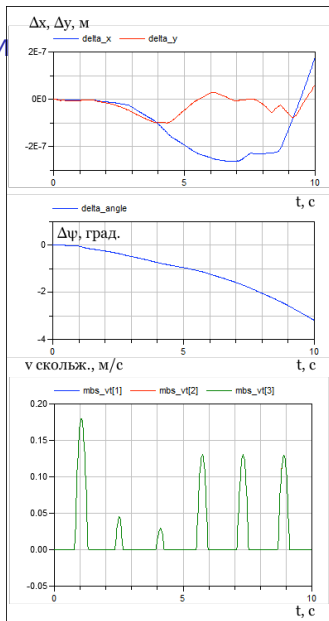
$$\overrightarrow{O_B D} = -m\mathbf{i}_2, \quad \overrightarrow{DP_B} = -h\mathbf{j}_1,$$

$$m = R_1 \sin \chi / \cos \chi / \cos \psi$$

$$h = R - R_1 / \cos \chi$$

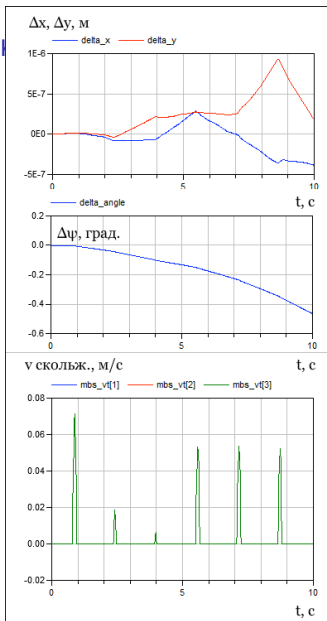
$$\cos \chi = \boldsymbol{\rho} \cdot \mathbf{n}_A, \quad \sin \chi = (\mathbf{n}_A \times \boldsymbol{\rho}) \cdot \mathbf{k}_1.$$

Верифи



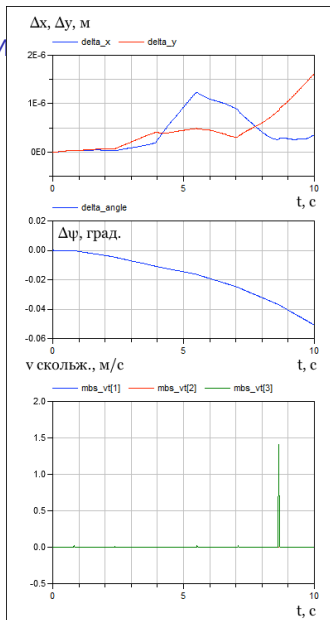
$$\eta = 10^{-5}, v_0 = 0, \omega_0 = 1$$

си



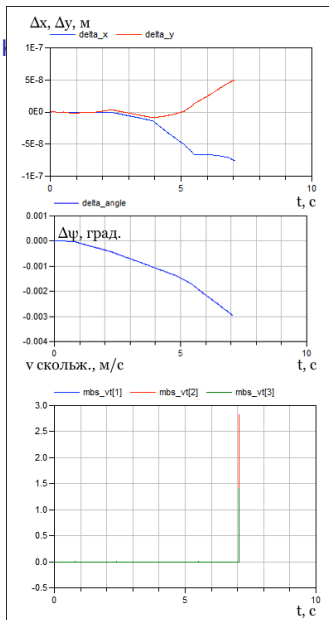
$$\eta = 10^{-6}, v_0 = 0, \omega_0 = 1$$

Верифи



$$\eta = 10^{-5}, v_0 = 0, \omega_0 = 1$$

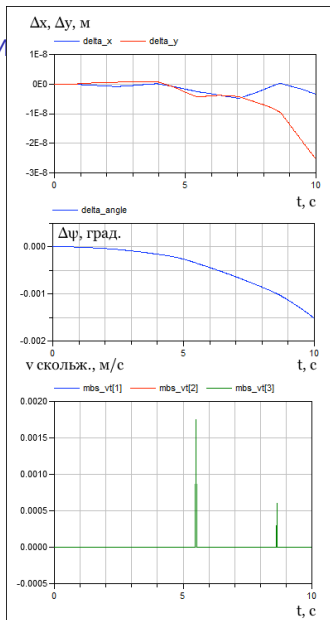
О



си

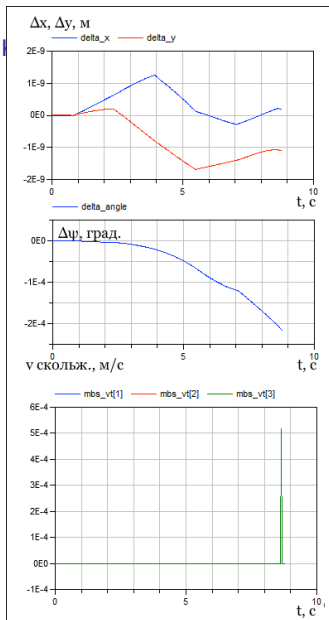
$$\eta = 10^{-6}, v_0 = 0, \omega_0 = 1$$

Верифи



$$\eta = 10^{-5}, v_0 = 0, \omega_0 = 1$$

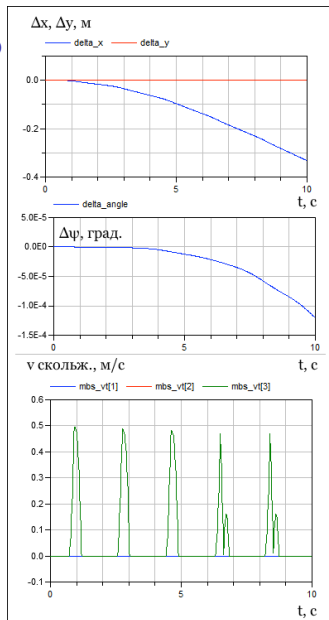
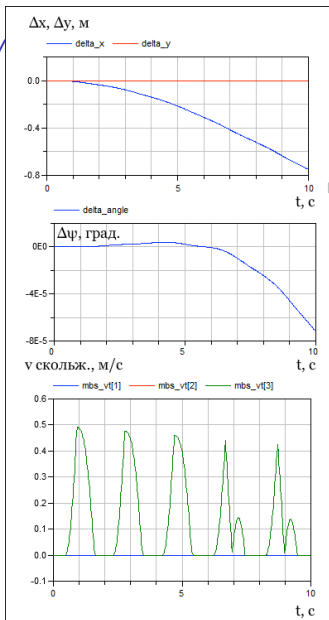
О



си

$$\eta = 10^{-6}, v_0 = 0, \omega_0 = 1$$

Верифи

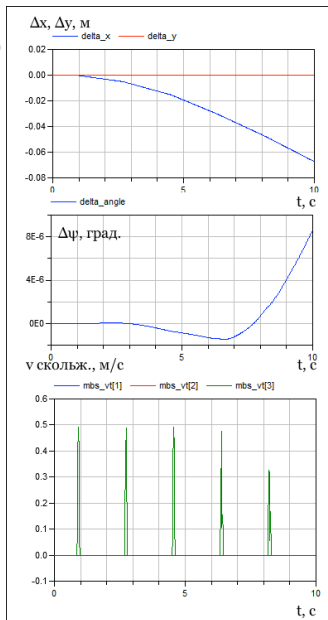
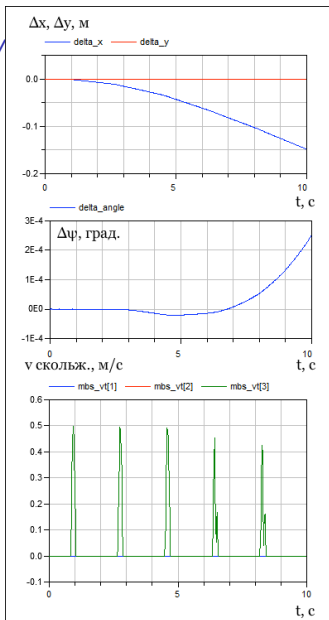


$$\eta = 0,001, v_0 = 1, \omega_0 = 0$$

$$\eta = 0,0001, v_0 = 1, \omega_0 = 0$$

Верифи

ю



$$\eta = 0,001, v_0 = 1, \omega_0 = 0$$

$$\eta = 0,0001, v_0 = 1, \omega_0 = 0$$

Подход

- ▶ Построены модели омни-экипажа: неголономная с идеальными связями и голономная с неидеальными. Обе модели учитывают инерцию роликов.
- ▶ В модели 1 уравнения движения на гладких участках получены аналитически и представляют собой уравнения 33 порядка для экипажа с 3 колесами и 5 роликами на каждом колесе. Расчет изменения обобщенных скоростей проведен с помощью теории удара.
- ▶ Аналитически показано, что при равенстве осевого момента инерции ролика нулю, уравнения движения совпадают с уравнениями движения безынерционной модели.
- ▶ Показано, что линейный первый интеграл, безынерционной модели, разрушается при $B=0$. Скорость изменения значения этого интеграла пропорциональна осевому